

УДК 523.62-726

ЭМПИРИЧЕСКАЯ МОДЕЛЬ ОЦЕНКИ СКОРОСТЕЙ И ЗАПАЗДЫВАНИЙ МЕЖПЛАНЕТНЫХ КОРОНАЛЬНЫХ ВЫБРОСОВ МАССЫ

© 2023 г. Н. С. Шлык¹, *, А. В. Белов¹, М. А. Абунина¹, А. А. Абуин¹

¹Институт земного магнетизма, ионосферы и распространения радиоволн
им. Н.В. Пушкина РАН (ИЗМИРАН), Москва, Троицк, Россия

*e-mail: nshlyk@izmiran.ru

Поступила в редакцию 21.02.2023 г.

После доработки 05.04.2023 г.

Принята к публикации 25.05.2023 г.

Исследуется поведение скорости межпланетных корональных выбросов массы в зависимости от гелиодолготы источника (ассоциированной солнечной вспышки), начальной скорости выброса и скорости фонового солнечного ветра. В основе моделирования лежат данные о 364 выбросах солнечного вещества, сопровождавшихся вспышками и наблюдавшихся в коронографе SOHO/LASCO, межпланетные аналоги которых были впоследствии зарегистрированы у Земли в период с 1995 по 2021 гг. Описана модель, позволяющая оценивать транзитную и максимальную скорости соответствующего межпланетного возмущения, а также время его прибытия к Земле. Средняя абсолютная ошибка оценки времени распространения межпланетных корональных выбросов массы для рассмотренных 364 событий составляет 11.5 ч, а средняя относительная ошибка – 16.5%.

DOI: 10.31857/S0016794023600175, EDN: GRVODM

1. ВВЕДЕНИЕ

Корональные выбросы массы (КВМ) представляют собой типичные проявления солнечной активности, которые приводят к образованию межпланетных возмущений, оказывающих влияние, в том числе, и на Землю. Они часто становятся причиной развития геомагнитных бурь [Gosling et al., 1990; Tsurutani and Gonzalez, 1997; Zhang et al., 2003], и поэтому оценка скорости и времени распространения межпланетных возмущений, вызванных КВМ, является важным аспектом точно-го прогнозирования космической погоды.

Существует множество работ, посвященных исследованию самых разных свойств КВМ, начиная от изучения их солнечных источников и причин возникновения, эволюции в солнечной короне и заканчивая условиями распространения соответствующих возмущений в межпланетном пространстве и последствиями их прибытия к Земле [Gopalswamy et al., 2000; Webb and Howard, 2012; Zhang et al., 2021 и др.]. С появлением коронографов стала активно развиваться теория КВМ [Gosling et al., 1976; Lindsay et al., 1999; Yashiro et al., 2005 и др.]. Различные авторы указали на существование проекционных эффектов у коронографов, которые мешают точному определению скоростей и/или размеров КВМ особенно для центральных событий, и описали методы их коррекции [Vršnak et al., 2007; Temmer et al., 2009;

Paouris et al., 2021]. По данным коронографов были оценены размеры, массы и скорости различных КВМ, составлены каталоги КВМ и их межпланетных аналогов (МКВМ) и уточнены многие их свойства [Michałek et al., 2003; Richardson and Cane, 2010; Gopalswamy et al., 2010; Hess and Zhang, 2017; Lamy et al., 2019 и др.].

Правильная оценка скоростей распространения МКВМ осложняется из-за наличия взаимодействия со спокойным солнечным ветром (СВ). Gopalswamy et al. [2000], например, описали эффективное ускорение, действующее на МКВМ со стороны фонового СВ. В работах Cane et al. [2000] и Wang et al. [2002] показано, что транзитные скорости МКВМ, регистрируемые на Земле, лишь слабо коррелируют с начальными скоростями соответствующих КВМ. Возможное объяснение этому – существование взаимодействия с другими крупномасштабными возмущениями СВ: например, высокоскоростными потоками из корональных дыр или другими МКВМ [Gopalswamy, 2008; Lugaz et al., 2017; Шлык и др., 2021].

На данный момент разработано много разных моделей распространения МКВМ, учитывающие самые разные факторы: положение солнечного источника, начальная скорость и ширина КВМ, скорость фонового СВ, наличие других возмущений СВ и т.д. Среди них, например, магнитогидродинамические (МГД) модели распространения

возмущений СВ *WSA–ENLIL Solar Wind Prediction* (<https://www.swpc.noaa.gov/products/wsa-enlil-solar-wind-prediction>), или *ISWA Model* (<https://iswa.gsfc.nasa.gov/IsWaSystemWebApp/>), а также другие сложные теоретические МГД-модели, описанные в работах Odstrcil [2003], Feng et al. [2010], Shen et al. [2007], Davies et al. [2012]; эмпирические и полуэмпирические модели *Graduated Cylindrical Shell (GCS) model* [Thernisien, 2011], *Effective Acceleration Model (EAM)* [Paouris and Mavromichalaki, 2017], *Drag-Based Ensemble Model (DBEM)* [Vršnak et al., 2013; Čalogović et al., 2021], модель Центра данных оперативного космического мониторинга МГУ (*SMDC*) [Shugay et al., 2022].

Время прибытия межпланетных возмущений к Земле может быть довольно точно оценено вышеупомянутыми аналитическими моделями. Например, Riley et al. [2018] показали, что существующие модели способны предсказать прибытие ударной волны от МКВМ с точностью ± 10 ч, однако они требуют большого количества входных параметров, значительных вычислительных мощностей и времени, и эти данные далеко не всегда оперативно доступны.

Наша группа постаралась максимально использовать солнечные данные, которые сопровождают генерацию КВМ (начальная скорость КВМ, оцененная по коронографу, и долгота его источника на солнечном диске), чтобы как можно более заблаговременно и точно оценивать скорость соответствующего МКВМ на пути от Солнца к Земле. Созданная нами эмпирическая модель (на основе данных о 288 КВМ, ассоциированных с солнечными вспышками за 1995–2020 гг.) подробно описана в работе Belov et al. [2022], дает возможность мгновенно оценить транзитную скорость, максимальную скорость во время прибытия к Земле и запаздывание для соответствующего МКВМ. Средняя ошибка определения времени распространения до Земли для рассмотренных событий оказалась равной 13.6 ч.

Однако существуют перспективы для улучшения вышеупомянутой модели. Цель настоящей работы – разработка усовершенствованной эмпирической модели оценки скоростей (транзитной и максимальной) и запаздывания МКВМ за счет расширения статистики событий, уточнения их характеристик и включения дополнительных входных параметров.

2. ДАННЫЕ И МЕТОДЫ

Для исследования различных параметров КВМ использовались данные, собранные в онлайн-каталоге (https://cdaw.gsfc.nasa.gov/CME_list/). Данные по МКВМ, достигшим Землю, собраны в базе данных Форбуш-эффектов и межпланетных возмущений (*Forbush Effects and Interplanetary Dis-*

turbances (FEID), (<https://tools.izmiran.ru/aid/>), созданной в ИЗМИРАН. В базе данных FEID содержатся различные характеристики межпланетной среды (скорость, температура, плотность СВ, величина межпланетного магнитного поля (ММП), плазменная бета и др.), космических лучей и геомагнитной активности во время различных межпланетных возмущений; сделаны привязки многих из этих возмущений к солнечным источникам (указаны параметры родительских вспышек, эruptionи волокон и пр.); рассчитаны различные сопутствующие параметры. Параметры СВ и ММП взяты из базы данных OMNI (<https://omniweb.gsfc.nasa.gov/>), список ударных волн – <http://isgi.unistra.fr/datadownload.php>, вспышек – <https://www.ngdc.noaa.gov/stp/space-weather/solar-data/solar-features/solar-flares/x-rays/goes/xrs/>.

Из базы данных FEID мы выбирали события, вызванные приходом к Земле МКВМ, для которых есть уверенная привязка к солнечной вспышке, и соответствующий КВМ был виден в коронографе. Всего таких событий получилось 364, причем охвачен длительный период времени с 1995 по 2021 гг. Отметим, что межпланетных возмущений, привязанных к солнечным источникам в FEID, значительно больше, но мы не использовали те из них, которые были соотнесены с солнечными источниками с малой степенью уверенности или по которым, например, не было данных коронографа.

Полный каталог 364 исследуемых событий, содержащий как характеристики КВМ, так и характеристики вызванных ими межпланетных возмущений, зарегистрированных впоследствии у Земли, доступен по ссылке (http://spaceweather.izmiran.ru/papers/2023/ICME_catalogue.pdf).

3. ОПИСАНИЕ МОДЕЛИ

В предыдущей работе [Belov et al., 2022] были использованы лишь два входных параметра – синус абсолютной гелиодолготы источника и начальная скорость КВМ, однако, очевидно, что учет скорости фонового СВ также важен, поскольку возможны различные сценарии взаимодействия с ним распространяющегося МКВМ: медленные выбросы могут ускоряться, а быстрые, наоборот, замедляться. На рис. 1 приведено распределение величин транзитных скоростей МКВМ (V_r) и скорости фонового СВ (V_a , за час до регистрации МКВМ у Земли). Хорошо видно, что величины скорости фонового СВ имеют гораздо более узкие интервалы изменения (от 263 до 970 км/с), а транзитные скорости МКВМ от события к событию могут меняться более, чем в 7 раз (от 286 до 2109 км/с).

Стоит отметить, что значение фоновой скорости СВ точно не известно на момент прогнозиро-

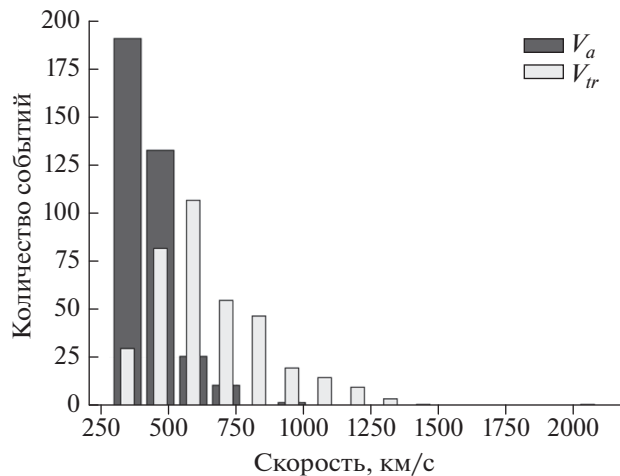


Рис. 1. Распределение величин транзитных скоростей MKBM (V_{tr}) и скорости фонового СВ (V_a , за час до регистрации MKBM у Земли).

вания прихода MKBM к Земле. Однако эти значения хорошо прогнозируются, поскольку значения скорости СВ, как правило, мало меняются в течение нескольких дней. На рис. 2 приведена автокорреляция среднесуточных значений скорости СВ в течение двух месяцев (точки получены усреднением данных за период 2007–2010 гг.). Видно, что эти значения в первые 3–4 дня (обычно этого промежутка достаточно для достижения MKBM орбиты Земли) меняются день ото дня плавно, а возможный рост скорости фонового СВ (например, из-за воздействия высокоскоростного потока из корональной дыры) прогнозируется довольно точно, учитывая существование выраженной 27-дневной повторяемости.

Таким образом, основными входными параметрами для обновленной эмпирической модели оценки скоростей и запаздываний MKBM были выбраны:

- начальная линейная скорость КВМ, рассчитанная по данным коронографа SOHO/LASCO – V_0 ;
- синус абсолютной гелиодолготы, ассоциированной с КВМ солнечной вспышки – $\sin\phi$;
- скорость фонового СВ за час до регистрации соответствующего MKBM у Земли – V_a .

На рис. 3 приведено распределение начальных скоростей КВМ (V_0), вошедших в исследуемую выборку, в зависимости от синуса абсолютной величины долготы ассоциированной вспышки – $\sin\phi$. Распределение оказывается довольно равномерным, несмотря на то, что событий с центральными источниками значительно больше, чем лимбовых. Это не должно удивлять, поскольку такие возмущения просто редко доходят до Земли и реже регистрируются. Можно заметить, что существует некий излом распределения в районе $\sin\phi = 0.7$: среднее значение V_0 для событий с долготами $\phi > 45^\circ$ составило 1291 ± 73 км/с, а для событий с $\phi \leq 45^\circ$ всего 852 ± 27 км/с. Это свидетельствует о том, что с более далеких гелиодолгот к Земле приходят межпланетные возмущения только от наиболее быстрых и мощных КВМ, причем в некоторых случаях (13 событий с $\phi = 90^\circ$) были зарегистрированы лишь ударные волны, тепло выброса миновало Землю.

Следует отметить, что в некоторых случаях (для 12 событий) значения начальной скорости были скорректированы: для части медленных вы-

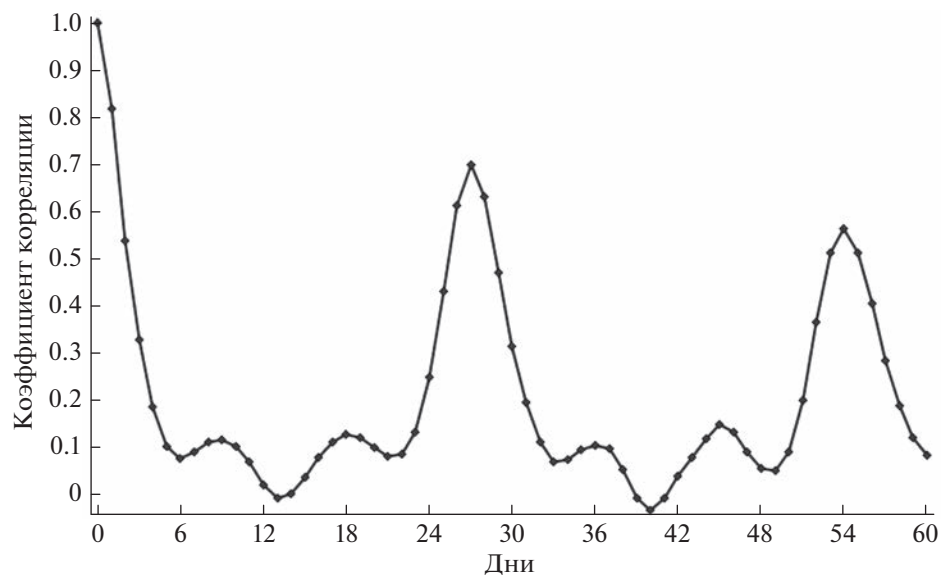


Рис. 2. Автокорреляция среднесуточных значений скорости СВ за период 2007–2010 гг.

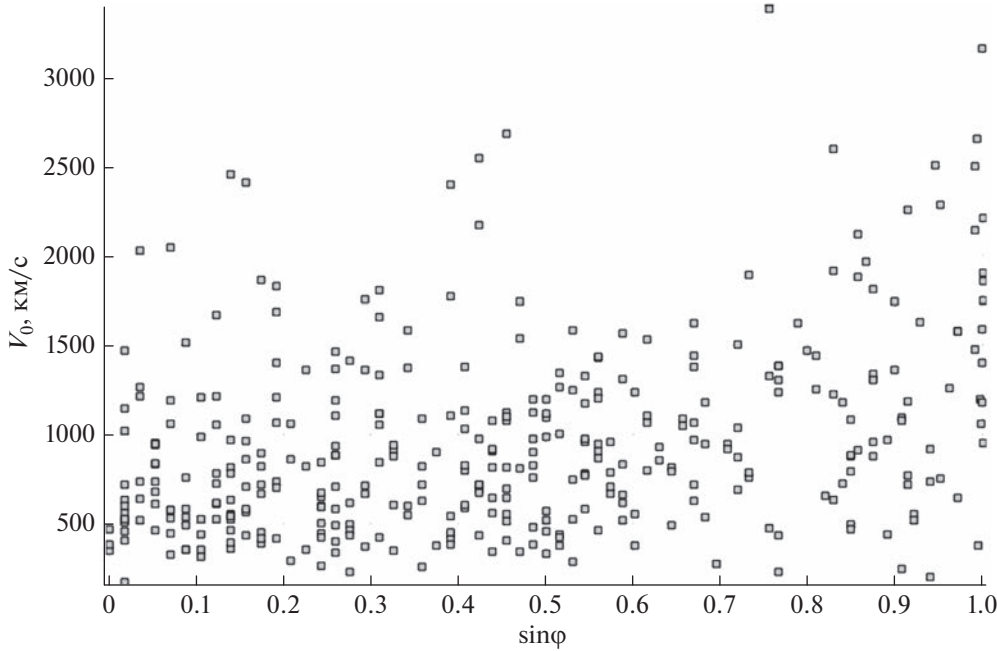


Рис. 3. Распределение начальных скоростей (V_0) и синусов абсолютной долготы солнечного источника ($\sin\phi$) для 364 КВМ, используемых в исследовании.

бросов в используемом каталоге (https://cdaw.gsfc.nasa.gov/CME_list/) было указано, что их скорость на высоте 20 радиусов Солнца значительно больше, чем в начале. Поэтому, чтобы учесть не-типичное поведение этих КВМ, очевидно связанное с дополнительным ускорением по мере подъема в солнечной короне, мы решили в этих редких случаях использовать в качестве начальной “скорость второго порядка, рассчитанную на конечной высоте”, приведенную в том же каталоге.

На рис. 4 показано распределение начальных, фоновых и транзитных скоростей для исследуемых 364 событий, при этом изменение цвета точек от черного к белому соответствует изменению величин транзитной скорости от 300 до >1000 км/с.

Естественно ожидать, что в некоторых событиях ожидаемая транзитная скорость и время распространения МКВМ будут близки к ранее наблюдавшимся событиям с аналогичными входными данными, а именно V_0 , $\sin\phi$, V_a . Это означает, что мы можем использовать уже имеющиеся в нашей базе данных события для определения ожидаемой транзитной скорости и запаздывания для нового события, усредняя имеющуюся информацию в окрестности исследуемой точки. При этом учитывается вклад всех 364 точек, но так, чтобы ближайшие точки имели наибольший вес. Тогда величину ожидаемой транзитной скорости можно рассчитать следующим образом:

$$V_{tr} = \frac{\sum_{i=1}^N V_i w_i}{\sum_{i=1}^N w_i}, \quad (1)$$

где V_i – транзитная скорость i -го события в окрестности; w_i – вес i -го события в окрестности, $N = 364$.

При этом вес i -го события определяется как:

$$\begin{cases} w_i = \frac{s_0^2}{s_v^2 + s_p^2 + s_a^2 + s_0^2}, & \text{для } s_v \leq s_{vc}, \\ |s_p| \leq s_{pc}, \quad s_a \leq s_{ac}, \quad s_0 = s_{0c} \\ w_i = \left(\frac{s_0^2}{s_v^2 + s_p^2 + s_a^2 + s_0^2} \right)^2 & \text{для всех других значений } s_v, s_p, s_a, \end{cases} \quad (2)$$

где $s_v = \left| 1 - \frac{V_0}{V_{0i}} \right|$; $s_p = (\sin p - \sin\phi_i)$; $\sin p$ – синус абсолютного значения гелиодолготы исследуемого события; V_0 – начальная скорость КВМ исследуемого события; $\sin\phi_i$ и V_{0i} – синус абсолютного значения гелиодолготы ассоциированной вспышки и начальная скорость i -го события в окрестности; $s_a = \left| 1 - \frac{V_a}{V_{ai}} \right|$; V_a – скорость фонового СВ в исследуемом событии; V_{ai} – фоновая скорость СВ

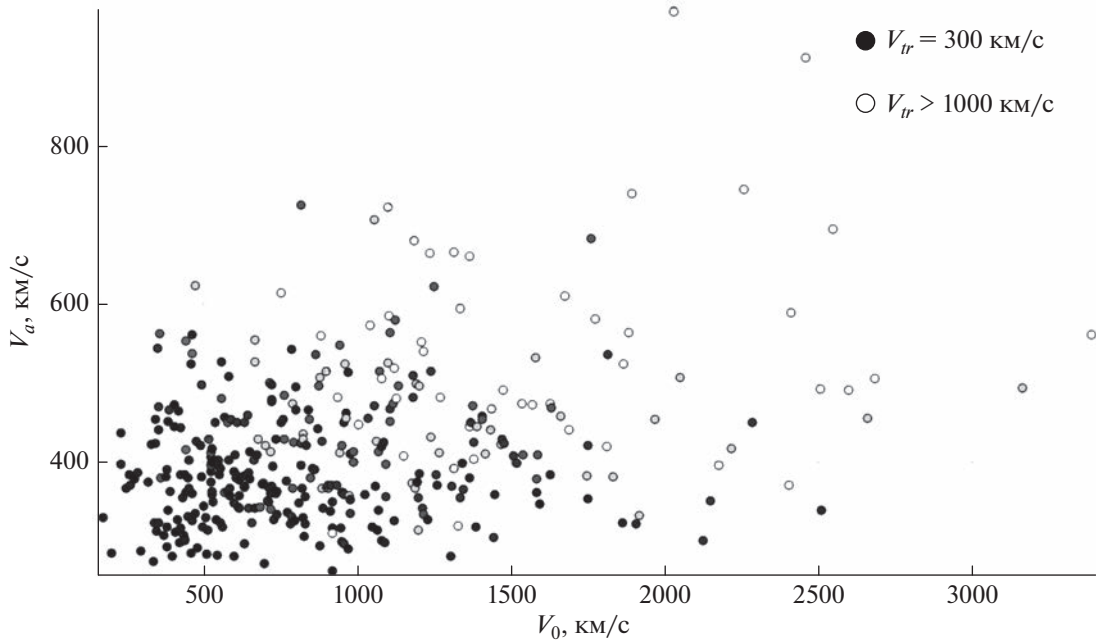


Рис. 4. Распределение начальных (V_0 , ось X), фоновых (V_a , ось Y) и транзитных скоростей (V_{tr} , изменение цвета от черного к белому соответствует изменению величин транзитной скорости от 300 до >1000 км/с) для исследуемых 364 событий.

для i -го события в окрестности; s_0 – задаваемая вручную величина, определяющая ближайшую окрестность, в которой веса меняются незначительно.

Значения величин $s_{vc}, s_{pc}, s_{ac}, s_{0c}$ изменяются в зависимости от начальных скоростей КВМ. Подбор значений $s_{vc}, s_{pc}, s_{ac}, s_{0c}$ и граничных условий для V_0 был осуществлен исходя из достижения минимальных значений отклонения модельных величин транзитной скорости и времени от реально наблюдаемых в исследуемых 364 событиях. В табл. 1 представлены найденные условия и соответствующие им значения.

Ошибки скорости считаются аналогичным образом, как и сами транзитные скорости (с учетом веса), но вместо значения скоростей используются разности их прогнозируемого и наблюдаемого значения (по абсолютной величине).

Для равномерно расположенных по V_0 (с шагом 50 км/с) и V_a (с шагом 20 км/с) узлов были рассчитаны матрицы ожидаемых значений тран-

зитной скорости по формуле (1) и запаздывания MKBM по формуле (3):

$$T_{tr} = \frac{1AU}{V_{tr}}. \quad (3)$$

Для более наглядной демонстрации данных мы воспользовались контурным представлением ожидаемых транзитных величин, построенным на основе вычисленных матриц. На рис. 5 приведена связь ожидаемого времени прибытия межпланетного возмущения к Земле (T_{tr}) со значениями начальной скорости соответствующего КВМ (ось X) и фоновой скорости СВ (ось Y), более темными цветами обозначены меньшие запаздывания (числа, указанные на соответствующих изолиниях). Например, для КВМ с начальной скоростью 1500 км/с при фоновой скорости 400 км/с ожидаемое время прибытия составляет ~60 ч, а для начальной скорости 500 км/с оно увеличивается до 80 ч. Также влияние оказывает и изменение фоновой скорости.

Таблица 1. Границные условия и значения коэффициентов, используемых при расчете веса события по формуле (2)

Условия/значения	s_{vc}	s_{pc}	s_{ac}	s_{0c}
$V_0 < 450$ км/с	0.25	0.4	0.1	0.06
$450 \leq V_0 \leq 800$ км/с	0.4	0.2	0.2	0.08
$V_0 > 800$ км/с	0.4	0.4	0.2	0.06

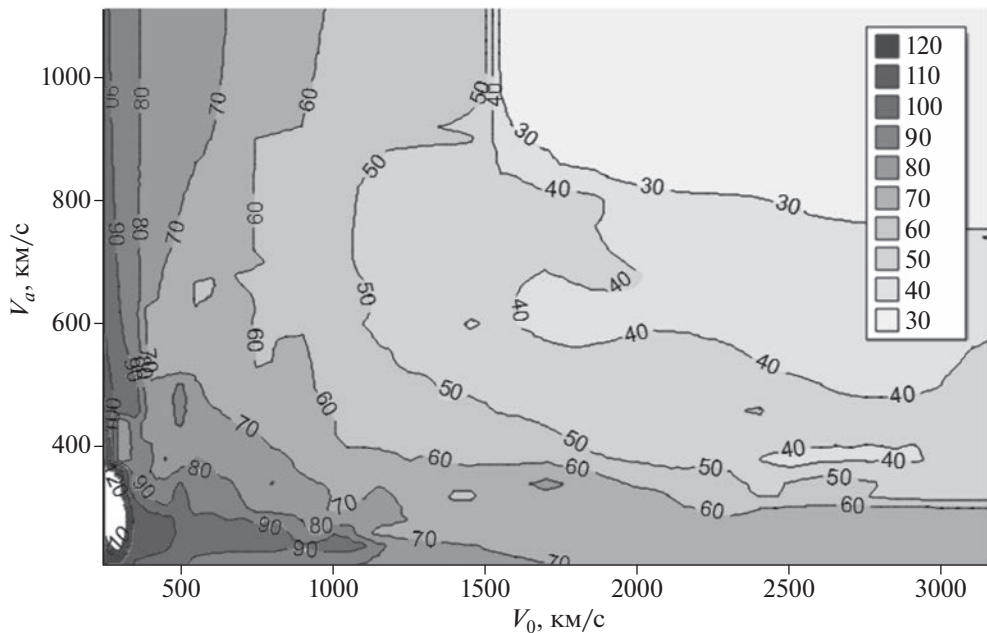


Рис. 5. Связь ожидаемого запаздывания МКВМ (T_{tr}) с начальной скоростью соответствующего КВМ (ось X) и скоростью фонового СВ (ось Y). Различным цветом обозначена градация ожидаемого транзитного времени по величине (в часах).

Нами также были получены зависимости ожидаемых транзитных скоростей (V_{tr} , ось Y) от начальной скорости КВМ (разные кривые) и долготы ассоциированной с ним вспышки (ось X) при заданной скорости фонового СВ (для примера взято значение $V_a = 400$ км/с). По рис. 6 можно определить ожидаемые значения: например, для КВМ с начальной скоростью порядка 700 км/с ожидаемая транзитная скорость составляет ~ 600 км/с, а для аналогичного КВМ с далеким по долготе источником ($>50^\circ$) — получаем менее 550 км/с.

4. ВЕРИФИКАЦИЯ И ПРИМЕНЕНИЕ МОДЕЛИ

Мы имеем возможность для любой долготы, начальной и фоновой скоростей посчитать ожидаемую транзитную скорость, в частности, сделать это для тех событий, которые послужили основной выборкой для проведенного анализа. На рис. 7 представлены графики зависимости реально наблюдаемой скорости в исследуемых событиях и скорости, рассчитанной по модели (при условии исключения из расчета самой исследуемой точки). Даже если не вводить никаких ограничений, коэффициент корреляции для полной выборки (364 события) составляет $cc = 0.82 \pm 0.03$, что уже является хорошим результатом. При рассмотрении только сравнительно центральных событий корреляция улучшается, а для узкого центрального диапазона долгот ($\phi \leq 10^\circ$), КВМ из которых с наибольшей вероятностью ре-

гистрируются на Земле и представляют наибольшую опасность с точки зрения неблагоприятной космической погоды, для 88 событий получаем $cc = 0.90 \pm 0.02$.

Отметим также, что разработанная модель уже применяется в повседневной деятельности Центра прогнозов космической погоды ИЗМИРАН (<http://spaceweather.izmiran.ru/>). На рис. 8 представлен скриншот рабочей версии используемой программы для расчета транзитной и максимальной скоростей МКВМ, а также запаздывания, в основе которой лежит описанная выше модель. В левые окошки вносятся начальная скорость КВМ, фоновая скорость СВ и абсолютная гелиодолгота ассоциированной вспышки. В средних окошках программа выдает полученные в результате моделирования значения (с ошибками) транзитных скорости и времени соответствующего МКВМ, а также его максимальную скорость у Земли. Правые окошки отражают 95%-й quartиль значений тех же расчетных величин.

Следует отметить, что оценка максимальной скорости, регистрируемой в событии у Земли, проводится на основе линейной регрессии значений двух скоростей: максимальная скорость в событиях исследуемой выборки очень хорошо коррелирует с транзитной скоростью ($cc = 0.89 \pm 0.02$), поэтому проводимые оценки следует считать достоверными. Это важно, поскольку оценка именно максимальной скорости в событии необходима для более точного прогнозирования.

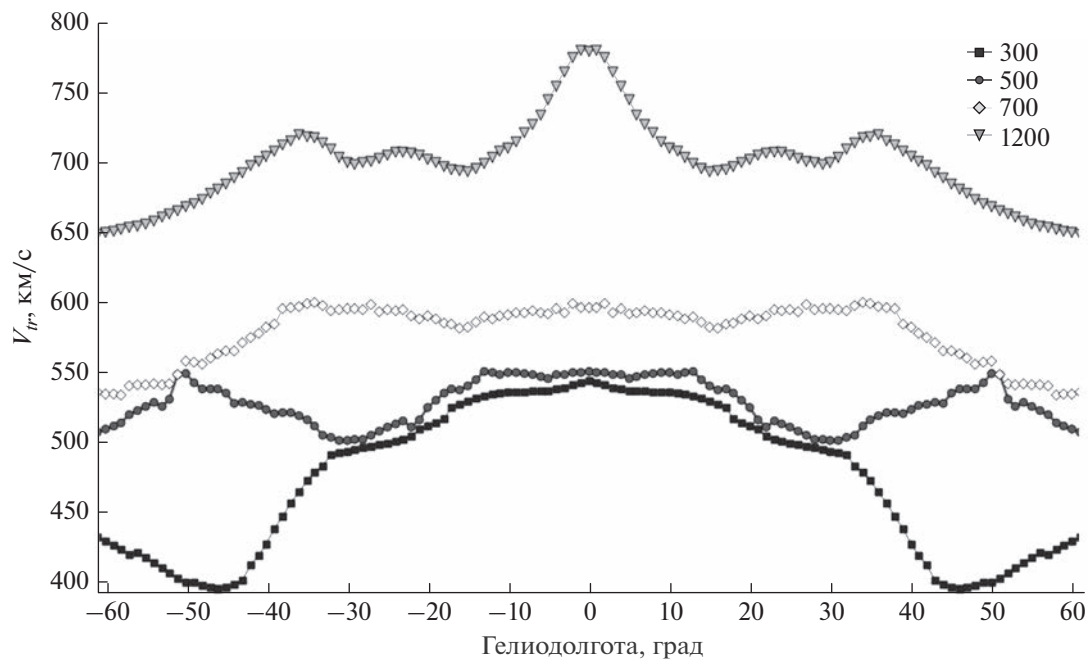


Рис. 6. Зависимость ожидаемых значений транзитной скорости (ось Y) от долготы родительской вспышки (ось X) и начальной скорости КВМ в км/с (кривые).

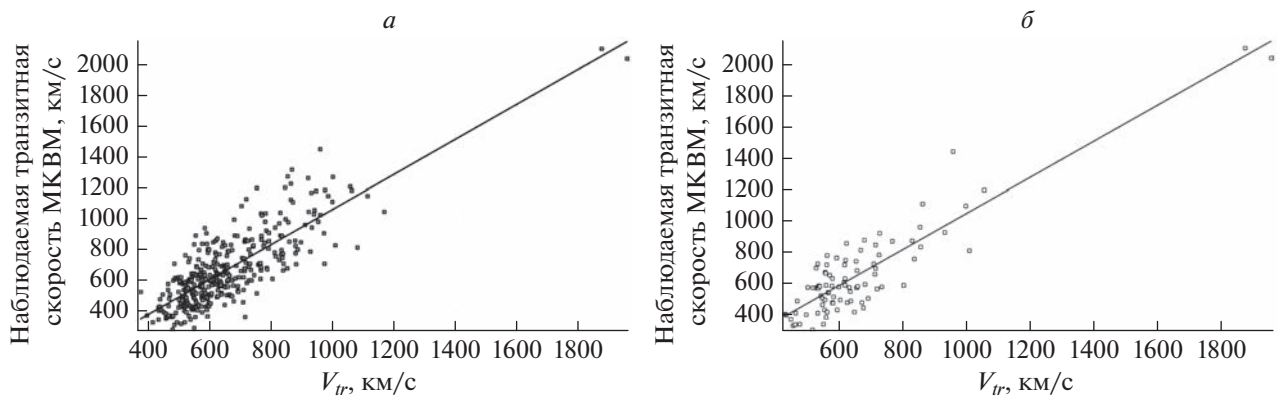


Рис. 7. Связь реально наблюдаемой транзитной скорости в исследуемых событиях и скорости, рассчитанной по модели a) для всех 364 событий; b) для 88 событий центральной долготной зоны ($\phi \leq 10^\circ$).

ния состояния космической погоды и величины возмущений в магнитосфере Земли.

На рис. 9 приведено распределение величин ошибки определения запаздывания MKBM (положительные отклонения соответствуют задержке регистрации межпланетных возмущений по сравнению с прогнозом, а отрицательные, наоборот, дают события, в которых они были зарегистрированы раньше, чем ожидалось). Из гистограммы видно, что около 50% событий имеют ошибку в пределах ± 10 ч, а средняя абсолютная ошибка оценки времени прибытия составляет 11.5 ч. Для высокоскоростных центральных собы-

тий ($V_0 > 800$ км/с и $\phi \leq 10^\circ$) это значение снижается до 8.6 ч.

Для сравнения отметим, что МГД-модели дают результаты с абсолютными ошибками 7 ч (<https://iswa.gsfc.nasa.gov/IswaSystemWebApp/>). Наши результаты более уместно сравнивать с другим типом моделей (эмпирическими или полуэмпирическими), эти модели имеют существенно большие погрешности: 14.5 ч (*DBEM*), 18.6 ч (*EAM*) или 20.8 ч (*SMDC*), поэтому использование нашей модели вполне оправдано.

Кроме того, полезно рассмотреть относительные величины ошибок определения времени



Рис. 8. Скриншот программы для расчета скоростей и запаздывания МКВМ, в основе которой лежит описанная модель.

распространения МКВМ, поскольку величина ошибки в часах не во всех случаях дает правильное представление о ситуации. Например, если транзитное время некоторого межпланетного возмущения составляет 100 ч, то ошибка в ± 10 ч совершенно не критична, а если МКВМ относится к высокоскоростным, и время его распространения до Земли составляет 30–40 ч, то такое значение ошибки нельзя считать хорошим. Среднее

значение относительной ошибки для нашей модели составило 16.5%, поэтому оценки можно считать достаточно надежными как для быстрых, так и медленных МКВМ.

Приведем также примеры нескольких событий 2022 г., которые не вошли в исследуемую выборку, но представляли интерес для проверки нашей модели, поскольку имели разные начальные скорости и долготы солнечных источников и распространялись в отличающихся условиях межпланетной среды.

28 марта 2022 г. в 10:58 UT произошла вспышка класса M4.0 (N14W04), за которой в 12:00 UT последовала регистрация КВМ типа гало с начальной скоростью 702 км/с. У орбиты Земли приход соответствующего межпланетного возмущения был отмечен регистрацией ударной волны 31 марта в 01:41 UT. По оценкам нашей модели запаздывание для этого МКВМ (при выбранной скорости фонового СВ 400 км/с, поскольку в следующие 3 дня роста скорости СВ из-за других межпланетных возмущений не ожидалось) составляло 69 ч, т.е. время прибытия к Земле – 31 марта в 08:00 UT. Значение ожидаемой максимальной скорости составляло ~ 500 км/с. Таким образом, ошибка определения транзитного времени в этом событии составила менее 7 ч, а значение максимальной скорости, зарегистрированной в этом

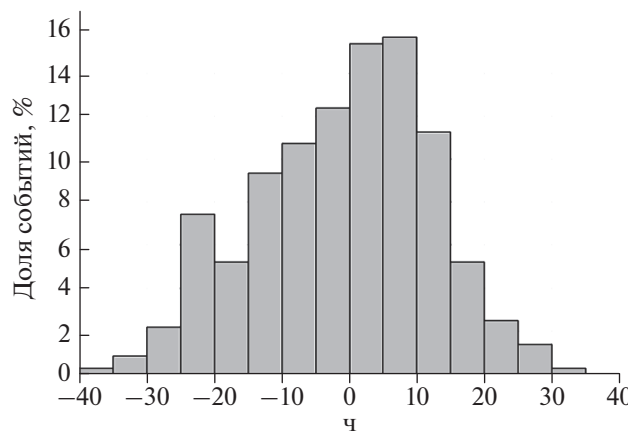


Рис. 9. Гистограмма величин ошибок определения запаздывания МКВМ для исследуемых 364 событий.

событии, было ~ 560 км/с, поэтому наши оценки можно считать достаточно надежными.

Два дня спустя первого упомянутого события, 30 марта 2022 г. в 17:21 UT на Солнце произошла еще одна большая вспышка класса X1.3 (N13W31), и в 18:00UT было зарегистрировано КВМ с начальной скоростью 641 км/с. По оценкам нашей модели соответствующее межпланетное возмущение должно было достигнуть Земли 02 апреля около 07:00 UT с максимальной скоростью ~ 550 км/с (при условии, что скорость фонового СВ из-за предыдущего межпланетного возмущения была повышенной, 500 км/с). Регистрация ударной волны произошла 02 апреля в 00:19UT, а максимальная скорость составила ~ 580 км/с. Т.е. в этом событии ошибка определения запаздывания МКВМ оказалась около 7 ч, и оценка максимальной скорости была вполне приемлемой.

Интересно также рассмотреть солнечное событие 13 июня 2022 г.: на Солнце в 02:58 UT была зарегистрирована вспышка класса M3.4 и в 03:12 UT ассоциированный с ней КВМ типа гало имел начальную скорость 1150 км/с. При этом двумя днями ранее центральный солнечный меридиан начала пересекать довольно протяженная транс-экваториальная корональная дыра, высокоскоростной поток из которой впоследствии воздействовал на околоземное космическое пространство 15–17 июня. По оценкам нашей модели (при выбранной фоновой скорости СВ, равной 550 км/с с учетом воздействия упомянутого высокоскоростного потока) соответствующее МКВМ должно было быть зарегистрировано у Земли спустя 52 ч, т.е. 15 июня около 07:00 UT с максимальной скоростью ~ 630 км/с. Регистрация межпланетного возмущения произошла 15 июня около 05:00 UT, максимальная скорость в событии составила ~ 610 км/с, поэтому можно заключить, что наши оценки были верны и в этом случае.

5. ОСНОВНЫЕ ВЫВОДЫ

Было рассмотрено и проанализировано 364 КВМ, ассоциированных с солнечными вспышками и зарегистрированных на коронографе SOHO/LASCO, межпланетные возмущения от которых впоследствии наблюдались в околоземном космическом пространстве.

Установлено, что величины транзитной скорости и запаздывания МКВМ зависят от начальной скорости соответствующего КВМ, абсолютной долготы ассоциированной солнечной вспышки, а также скорости фонового СВ. Обсуждены поправки к начальным значениям скорости медленных событий и возможности оценки значений фоновой скорости СВ. Показано, что транзитная скорость МКВМ в исследуемой выборке тесно

связана с максимальной скоростью, регистрируемой у Земли.

На основе установленных закономерностей создана модель, которая позволяет оценить транзитную и максимальную скорости МКВМ, а также время прибытия его к Земле. Разработанная модель успешно применяется в прогнозировании состояния космической погоды.

В дальнейшем планируется расширить статистику, используемую в модели, провести работу по повышению качества проводимых оценок, добавить возможность прогнозирования ожидаемого уровня геомагнитной активности. Кроме того, стоит более внимательно рассмотреть события в разные фазы солнечного цикла, поскольку изменение состояния гелиосферы оказывает значительное влияние на распространение межпланетных возмущений. Также планируется совместить созданную модель с моделью вероятности прихода МКВМ, что улучшит наши оценки для событий с большими долготами солнечных источников.

Отметим еще раз, что все полученные результаты относятся не ко всем КВМ, а только к тем, которые были достоверно идентифицированы по коронографическим данным, и соответствующие им МКВМ достигли Земли. Но, тем не менее, возможно и более широкое применение нашей модели, например, для решения обратной задачи: оценки начальных скоростей КВМ по зарегистрированным временам запаздывания, для случаев, когда данные коронографа отсутствовали или были недостоверны.

ФИНАНСИРОВАНИЕ РАБОТЫ

Н.С. Шлык, А.В. Белов, М.А. Абунина и А.А. Абунин поддержаны грантом Российского научного фонда № 20-72-10023.

СПИСОК ЛИТЕРАТУРЫ

- Шлык Н.С., Белов А.В., Абунина М.А., Абунин А.А., Олешева В.А., Янке В.Г. Влияние взаимодействующих возмущений солнечного ветра на вариации галактических космических лучей // Геомагнетизм и аэрономия. Т. 61. № 6. С. 694–703. 2021.
<https://doi.org/10.31857/S0016794021060134>
- Belov A., Shlyk N., Abunina M., Abuin A., Papaioannou A. Estimating the transit speed and time of arrival of interplanetary coronal mass ejections using CME and solar flare data // Universe. V. 8. I. 6. Article ID 327. 2022.
<https://doi.org/10.3390/universe8060327>
- Čalogović J., Dumbović M., Vršnak B., Sudar D., Martinić K., Temmer M., Veronig A. Probabilistic Drag-Based Ensemble Model (DBEM) evaluation for heliospheric propagation of CMEs // Solar Phys. V. 296. Article ID 114. 2021.
<https://doi.org/10.1007/s11207-021-01859-5>
- Cane H.V., Richardson J.G., St. Cyr O.C. Coronal mass ejections, interplanetary ejecta and geomagnetic storms // Geophys. Res. Lett. V. 27. № 21. P. 3591–3594. 2000.

- Davies J.A., Harrison R.A., Perry C.H. et al. A self-similar expansion model for use in solar wind transient propagation studies // *Astrophys. J.* V. 750. № 1. Article ID 23. 2012. <https://doi.org/10.1088/0004-637X/750/1/23>
- Feng X., Yang L., Xiang C., Wu S.T., Zhou Y., Zhong D. Three-dimensional Solar WIND modeling from the Sun to Earth by a SIP-CESE MHD model with a six-component grid // *Astrophys. J.* V. 723. № 1. P. 300–319. 2010. <https://doi.org/10.1088/0004-637X/723/1/300>
- Gopalswamy N., Lara A., Lepping R.P., Kaiser M.L., Berdichevsky T.M., St. Cyr O.C. Interplanetary acceleration of coronal mass ejections // *Geophys. Res. Lett.* V. 27. № 2. P. 145–148. 2000. <https://doi.org/10.1029/1999GL003639>
- Gopalswamy N. Solar connections of geoeffective magnetic structures // *J. Atm. Solar-Terr. Phys.* V. 70. P. 2078–2100. 2008. <https://doi.org/10.1016/j.jastp.2008.06.010>
- Gopalswamy N., Yashiro S., Michalek G., Xie H., Mäkelä P., Vourlidas A., Howard R.A. A Catalog of Halo Coronal Mass Ejections from SOHO // *Sun and Geosphere*. V. 5. № 1. P. 7–16. 2010.
- Gosling J. T., Hildner E., MacQueen R.M., Munro R.H., Poland A.I., Ross C.L. The speeds of coronal mass ejection events // *Solar Phys.* V. 48. P. 389–397. 1976. <https://doi.org/10.1007/BF00152004>
- Gosling J. T., Bame S.J., McComas D.J., Phillips J.L. Coronal mass ejections and large geomagnetic storms // *Geophys. Res. Lett.* V. 17. I. 7. P. 901–904. 1990. <https://doi.org/10.1029/GL017i007p00901>
- Hess P., Zhang J. A study of the Earth-affecting CMEs of solar cycle 24 // *Solar Phys.* V. 292. Article number 80. 2017. <https://doi.org/10.1007/s11207-017-1099-y>
- Lamy P.L., Floyd O., Boclet B., Wojak J., Gilardy H., Barlyanova T. Coronal mass ejections over solar cycles 23 and 24 // *Space Sci. Rev.* V. 215. Article number 39. 2019. <https://doi.org/10.1007/s11214-019-0605-y>
- Lindsay G.M., Luhmann J.G., Russell C.T., Gosling J.T. Relationships between coronal mass ejection speeds from coronagraph images and interplanetary characteristics of associated interplanetary coronal mass ejections // *J. Geophys. Res.* V. 104. № A6. P. 12515–12523. 1999.
- Lugaz N., Temmer M., Wang Y., Farrugia C.J. The interaction of successive coronal mass ejections: a review // *Solar Phys.* V. 292. Article number 64. 2017. <https://doi.org/10.1007/s11207-017-1091-6>
- Michalek G., Gopalswamy N., Yashiro S. A new method for estimating widths, velocities, and source location of halo coronal mass ejections // *Astrophys. J.* V. 584. P. 472–478. 2003. <https://doi.org/10.1086/345526>
- Odstrcil D. Modeling 3-D solar wind structure // *Adv. Space Res.* V. 32. № 4. P. 497–506. 2003. [https://doi.org/10.1016/S0273-1177\(03\)00332-6](https://doi.org/10.1016/S0273-1177(03)00332-6)
- Paouris E., Mavromichalaki H. Effective Acceleration Model for the arrival time of interplanetary shocks driven by coronal mass ejections // *Solar Phys.* V. 292. Article number 180. 2017. <https://doi.org/10.1007/s11207-017-1212-2>
- Paouris E., Vourlidas A., Papaioannou A., Anastasiadis A. Assessing the projection correction of coronal mass ejection speeds on time-of-arrival prediction performance using the Effective Acceleration Model // *Space Weather*. V. 19. I. 2. e2020SW002617. 2021. <https://doi.org/10.1029/2020SW002617>
- Richardson I.G., Cane H.V. Near-Earth interplanetary coronal mass ejections during solar cycle 23 (1996–2009): catalog and summary of properties // *Solar Phys.* V. 264. P. 189–237. 2010. <https://doi.org/10.1007/s11207-010-9568-6>
- Riley P., Mays M.L., Andries J. et al. Forecasting the arrival time of coronal mass ejections: analysis of the CCMC CME scoreboard // *Space Weather*. V. 16. P. 1245–1260. 2018. <https://doi.org/10.1029/2018SW001962>
- Shen F., Feng X., Wu S. T., Xiang C. Three-dimensional MHD simulation of CMEs in three-dimensional background solar wind with the self-consistent structure on the source surface as input: Numerical simulation of the January 1997 Sun-Earth connection event // *J. Geophys. Res.* V. 112. A06109. 2007. <https://doi.org/10.1029/2006JA012164>
- Shugay Y., Kalegaev V., Kaportseva K., Slemzin V., Rodkin D., Eremin V. Modeling of solar wind disturbances associated with coronal mass ejections and verification of the forecast results // *Universe*. V. 8. I. 11. Article ID 565. 2022. <https://doi.org/10.3390/universe8110565>
- Temmer M., Preiss S., Veronig A.M. CME projection effects studied with STEREO/COR and SOHO/LASCO // *Solar Phys.* V. 256. P. 183–199. 2009. <https://doi.org/10.1007/s11207-009-9336-7>
- Thernisien A. Implementation of the Graduated Cylindrical Shell Model for the three-dimensional reconstruction of coronal mass ejections // *Astrophys. J. Suppl. Ser.* V. 194. № 2. Article number 33. 2011. <https://doi.org/10.1088/0067-0049/194/2/33>
- Tsurutani B.T., Gonzalez W.D. The Interplanetary causes of magnetic storms: A review. Eds. Tsurutani B.T., Gonzalez W.D., Kamide Y., Arballo J. K. *Geophys. Monogr. Ser.* / Wash. DC Am. Geophys. Union. P. 77–89. 1997. <https://doi.org/10.1029/GM098p0077>
- Vršnak B., Sudar D., Ruždjak D., Žic T. Projection effects in coronal mass ejections. // *Astron. Astrophys.* V. 469. P. 339–346. 2007. <https://doi.org/10.1051/0004-6361:20077175>
- Vršnak B., Žic T., Vrbanec D. et al. Propagation of interplanetary coronal mass ejections: the drag-based model // *Solar Phys.* V. 28. P. 295–315. 2013. <https://doi.org/10.1007/s11207-012-0035-4>
- Wang Y. M., Yee P. Z., Wang S., Zhou G. P., Wang J. A statistical study on the geoeffectiveness of Earth-directed coronal mass ejections from March 1997 to December 2000 // *J. Geophys. Res. – Space*. V. 107. № A11. Article ID 1340. 2002. <https://doi.org/10.1029/2002JA009244>
- Webb D.F., Howard T.A. Coronal mass ejections: observations // *Living Rev. Sol. Phys.* V. 9. Article number 3. 2012. <https://doi.org/10.12942/lrsp-2012-3>
- Yashiro S., Gopalswamy N., Akiyama S., Michałek G., Howard R.A. Visibility of coronal mass ejections as a function of flare location and intensity // *J. Geophys. Res.* V. 110. Article ID A12S05. 2005. <https://doi.org/10.1029/2005JA011151>
- Zhang J., Dere K.P., Howard R.A., Bothmer V. Identification of solar sources of major geomagnetic storms between 1996 and 2000 // *Astrophys. J.* V. 582. P. 520–533. 2003. <https://doi.org/10.1086/344611>
- Zhang J., Temmer M., Gopalswamy N. et al. Earth-affecting solar transients: A review of progresses in solar cycle 24 // *Prog. Earth Planet. Sci.* V. 8. Article number 56. 2021. <https://doi.org/10.1186/s40645-021-00426-7>